

سنگ‌های خروجی الیگومیوسن محدوده رزن-آوج (نوار ارومیه-دختر): شاهدی از ماقماتیسم مشابه OIB در بالای زون فرورانش

موقضی دلاوری^۱، خدیجه قربانی^۲ و امیرعلی طباج شبانی^۱

^۱ استادیار، دانشکده علوم زمین، دانشگاه خوارزمی، تهران، ایران

^۲ کارشناسی ارشد، دانشکده علوم زمین، دانشگاه خوارزمی، تهران، ایران

چکیده

کمربند ماگمایی ارومیه-دختر به موازات زمین درز زاگرس و در نتیجه فرورانش لیتوسفر اقیانوسی نووتیس به زیر حاشیه جنوبی اورازیا تشکیل شده است. سنگ‌های آتششانی مورد پژوهش در محدوده رزن-آوج بخشی از ماقماتیسم نوار ارومیه-دختر هستند. این سنگ‌ها شامل الیونین بازالت، بازالت تا محدودی تراکی آندزیت با ماهیت آلکالن هستند. روابط چینه‌شناختی میان لایه‌ای افق‌های آتششانی با رسوبات سازند قم گویای سن الیگومیوسن آنهاست. تمرکز عناصر اصلی و کمیاب سنگ‌های آتششانی و مدل‌سازی شیمیایی نشان‌دهنده نقش آشکار فرایند تبلور تغیریقی (۳۵ تا ۴۵ درصد) با مشارکت کانی‌های الیونین، کلینوپیروکسن و پلازیوکلاز در تحول ترکیب مذاب است. شیمی سنگ کلینوپیروکسن و نبود تهی شدگی HFSE/LREE/HREE و نبود تهی شدگی HFSE همانند مذاب‌های OIB است. به نظر می‌رسد پس از فعالیت ماگمایی گستره انسن-آوجی‌های آشکار ماگماتیسم قوسی دارد، در الیگومیوسن منشأ مذاب‌ها به گوشته ژرف‌تر آستنوسفری تغییر پیدا کرده است. احتمالاً پس از آغازین مراحل برخورد پلیتی عربی-اوراسیایی در انسن پایانی-الیگوسن آغازی و عقب گرد لیتوسفر فرورونده، جریانی از گوشته آستنوسفری به درون گوه گوشته‌ای تزریق شده و به طور ضعیفی تحت تأثیر مواد فرورانشی قرار گرفته است که باعث شکل‌گیری مذاب‌های الیگومیوسن شده است.

اطلاعات مقاله

تاریخچه مقاله:

تاریخ دریافت: ۱۳۹۹/۱۲/۰۴

تاریخ پذیرش: ۱۴۰۰/۰۱/۱۶

تاریخ انتشار: ۱۴۰۰/۱۰/۰۱

کلیدواژه‌ها:

بازالت آلکالن

الیگومیوسن

رن-آوج

ارومیه-دختر

۱- پیش‌نوشتار

(Moghadam et al., 2016). در خارج از قلمرو سرزمین ایران، در مناطقی همچون قفقاز، ترکیه و افغانستان نیز ماگماتیسم پالئوزن بسیار آشکار است e.g. Kazmin et al., 1986; Topuz et al., 2005; Sosson et al., 2010; (Van der Boon et al., 2017) یکی دیگر از نکات مهم در مورد ماگماتیسم پالئوزن نوار ارومیه-دختر، تغییرات و تحولات شیمیایی و پتروژئنیک مذاب‌ها در طول زمان است به طوری که از انسن به سمت الیگوسن تغییر ماهیت شیمیایی که‌بی‌شک به تنوع منشأ، شرایط ذوب و خاستگاه مذاب ارتباط دارد، آشکار است (Verdel et al., 2011; Ghorbani et al., 2014). این تغییرات از انسن به سمت الیگوسن به ترتیب با مذاب‌های دارای ویژگی‌های آشکار قوس آتششانی تا مذاب‌های درون پلیتی با اثرات ضعیف فرایندهای فرافورانشی متغیر است که با تغییر منشأ مذاب‌ها از گوشته لیتوسفری به گوشته آستنوسفری تفسیر شده است (Verdel et al., 2011) در منطقه رزن-آوج، رخمنو نسبتاً قبل توجهی از سنگ‌های آتششانی پالئوزن وجود دارد. در برخی نقاط همراهی سنگ‌های آتششانی با واحدهای رسوبی فسیل دار (واحدهای آهکی سازند قم) و روابط بینایینی چینه شناختی، ابزار مناسبی برای تعیین سن سنگ‌های آتششانی فراهم می‌آورد. سنگ‌های آتششانی مورد پژوهش به صورت میان‌لایه با واحدهای آهکی-مارنی سازند قم رخمنو دارد که نشان‌دهنده محدوده سنی الیگومیوسن برای فوران مذاب و تشکیل آنهاست. با

منطقه مورد پژوهش در محدوده رزن-آوج (استان همدان) قرار داشته (شکل ۱) و از نظر تقسیمات زون‌های زمین‌شناختی جزئی از نوار ماگمایی ارومیه-دختر است. تاکنون مطالعات متعددی بر روی ماگماتیسم نوار ماگمایی ارومیه-دختر انجام شده است (Omrani et al., 2008; Verdel et al., 2011; Chiu et al., 2013; Sepidbar et al., 2019) در این مطالعات، فرورانش لیتوسفر اقیانوسی نووتیس به زیر حاشیه ایران مرکزی و اثرات مواد فرورانشی بر گوه گوشته‌ای بالای لیتوسفر فرورونده به عنوان عامل مؤثر بر پیدایش و توکین ماگماتیسم نوار ماگمایی ارومیه-دختر در نظر گرفته شده است. از نظر زمان و سن رخدادهای ماگمایی، سنگ‌های ماگمایی این نوار اغلب در محدوده زمانی پالئوزن (انسن-الیگوسن) تشکیل شده‌اند (Chiu et al., 2013). با این حال، رخدادهای ماگمایی نوژن-کواترنری این نوار نیز به نوبه خود دارای اهمیت است چراکه برخی ظاهره‌های آتششانی معروف همچون سهند، سبلان، بزمان و تفتان در این قلمرو قرار می‌گیرند (Pang et al., 2014; Ghalamghash et al., 2016). قابل ذکر است که از نظر گسترش مکانی، ماگماتیسم هم ارز نوار ارومیه-دختر بویژه آنچه در انسن رخ داده است در دیگر نقاط ایران همچون البرز جنوبی، بلوک لوت و خاور ایران، جنوب Pang et al., 2013; Torabi et al., 2014; Ghasemi and Rezaei-Kahkhaei, 2015; Ahmadian et al., 2016;

doi: 10.22071/GSJ.2021.270639.1881

dor: 20.1001.1.10237429.1400.31.4.7.6



This is an open access article under the by-nc/4.0/ License (<https://creativecommons.org/licenses/by-nc/4.0/>)

* نویسنده مسئول: مرتضی دلاوری؛ E-mail: delavari@knu.ac.ir

حقوق معنوی مقاله برای فصلنامه علوم زمین و نویسنده‌گان مقاله محفوظ است.

فرض‌های پرس شده انجام گردید. تعیین مقدار عناصر کمیاب از جمله عناصر نادر خاکی (REE) و برخی عناصر کمیاب همانند U, Y, Hf و ... با استفاده از روش ICP-MS (با مشخصات Thermo Series X-I) صورت گرفت.

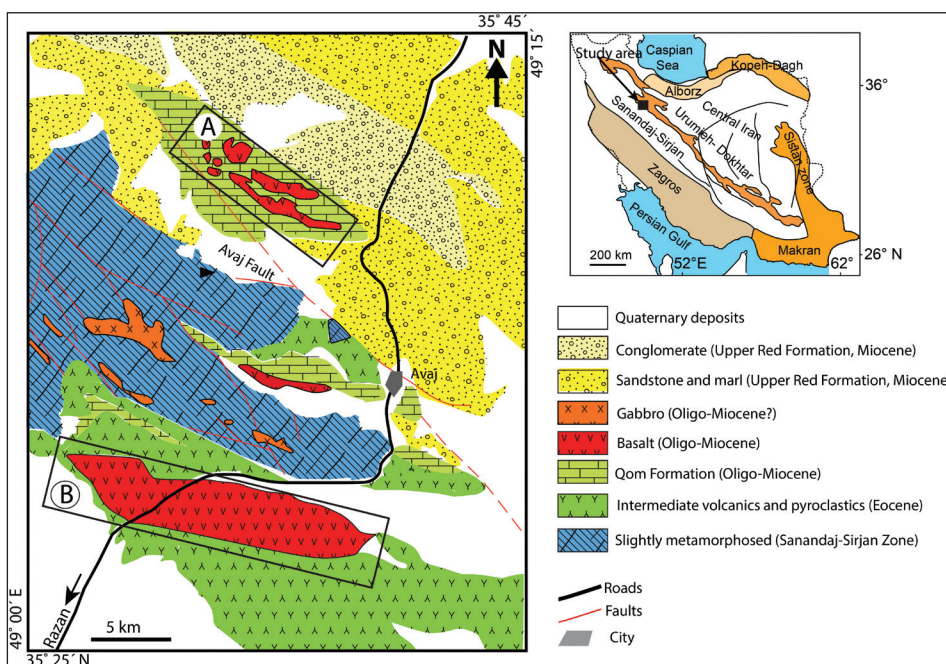
۳- زمین‌شناسی عمومی و ویژگی‌های صحرایی

منطقه مورد مطالعه دربرگیرنده رخنمون‌های سنگ‌های آتشفشاری در محدوده رزن-آوج است. این سنگ‌ها در شمال رزن تا شمال باختر آوج در محدوده‌ای با مختصات طول جغرافیایی $49^{\circ} 40' \text{ E}$ تا $50^{\circ} 15' \text{ E}$ و عرض جغرافیایی $35^{\circ} 45' \text{ N}$ تا $36^{\circ} 0' \text{ N}$ شمالی بروند دارند (شکل ۱). از دیدگاه زمین‌شناسی ساختاری، منطقه رزن-آوج در مرز پهنه‌های ایران مرکزی (نوار ارومیه-دخت) و سرچان-واقع شده است. در نقشه زمین‌شناسی مربوطه (ورقه ۱/۱۰۰۰۰ آوج؛ Bolourchi, 1978)، پهنه ایران مرکزی دربردارنده رخنمون‌های گستره تشکیلات دریایی سازند قم و آواری‌های سازند قرمز فوکانی است که تحت عنوان زون آبگرم نامیده شده است. از طرفی، پهنه سرچان-واقع با برونددهای دگرگونه‌های ضعیف مشخص است که با عنوان زون رزن مشخص گشته است. طبق این تقسیم‌بندی (Bolourchi, 1978)، سنگ‌های آتشفشاری مورد پژوهش غالبًا در پهنه ایران مرکزی قرار دارند. اگرچه، نمودهای آذربین به صورت نفوذی‌های کم حجم از جنس گابر و که در واقع معادل درونی سنگ‌های آتشفشاری موردبیح هستند، در داخل سنگ‌های دگرگونی زون رزن نیز تزییق شده‌اند. مرز ساختاری بین زون‌های آبگرم (ایران مرکزی) و رزن (سرچان-واقع) در این محدوده با گسل آوج مشخص می‌شود (شکل ۱).

مشخص بودن سن سنگ‌های آتشفشاری و بر اساس داده‌های ژئوشیمیایی حاصل شده می‌توان با جزئیات بیشتری در مورد ژئوشیمی و خاستگاه مذاب در یک محدوده زمانی مشخص بحث نمود. در ادامه در مورد ویژگی‌های سنگ‌ساختی، منشأ گوشه‌ای و فرایندهای زمین‌ساختی-ماگمایی کنده شیمی سنگ‌های آتشفشاری محدوده رزن-آوج بحث شده است. این مباحث باعث شکل گیری در ک عمیق‌تری از ماگماتیسم و وضعیت زمین‌ساختی نوار ارومیه-دختر به عنوان بخشی از حاشیه فعال قاره‌ای جنوب اورازیا خواهد شد که در جای خود، با تعاملات و تحولات حوضه اقیانوسی نوتیس نیز پیوند خورده است.

۲- روش پژوهش

پس از مطالعات صحرایی، از نمونه‌های برداشت شده مقطع نازک تهیه گردید و در ادامه، ویژگی‌های میکروسکوپی آنها توسط میکروسکوپ پلازیزان مورد بررسی قرار گرفت. در این مرحله سعی شد تا نمونه‌هایی که دارای کمترین دگرسانی و پرشدگی ثانویه حفرات هستند، جهت مطالعه شیمیایی انتخاب شوند. فرایند بعدی خردایش نمونه‌ها در اندازه قطعات کوچک‌تر از ۱ سانتی‌متر مکعب بود که مجدداً سعی گردید تا حد امکان قطعات دارای آثار پرشدگی‌های ثانویه جدا گردد. نمونه‌های خردشده توسط دستگاه تنگستن کارباید پور شدند و در ادامه برای تعیین ترکیب شیمیایی به آزمایشگاه دانشگاه فرارای ایتالیا (University of Ferrara, Italy) ارسال گردیدند. آنالیز شیمیایی و تعیین میزان عناصر اصلی و برخی عناصر کمیاب (همچون Ni, Sc, Co, V, Pb, Sr و ...) سنگ کل توسط روش فلورسانس اشعه ایکس (ARL Advant-XPautomated X-ray spectrometer) با مشخصات XRF (با مشخصات



شکل ۱- نقشه زمین‌شناسی منطقه مورد مطالعه با رسم مجدد از نقشه ۱:۱۰۰۰۰ آوج (Bolourchi, 1978). رخنمون اصلی بازالت‌های مورد پژوهش در دو محدوده شمال باختر آوج (محدوده A) و شمال رزن (محدوده B) است.

منطقه گسترش خوبی دارد. این واحدها دارای تنوعی از سنگ‌های آهکی نازک، متوسط تا سبز لایه، سنگ آهک توده‌ای، شیل‌های آهکی، شیل و مارن، آهک رسی، ماسه‌سنگ و توف است که در منطقه رزن-آوج تا سمت‌بازی حدود ۲۵۰۰ متر می‌رسد (Bolourchi, 1978). سنگ‌های آهکی اغلب به رنگ کرم تا خاکستری

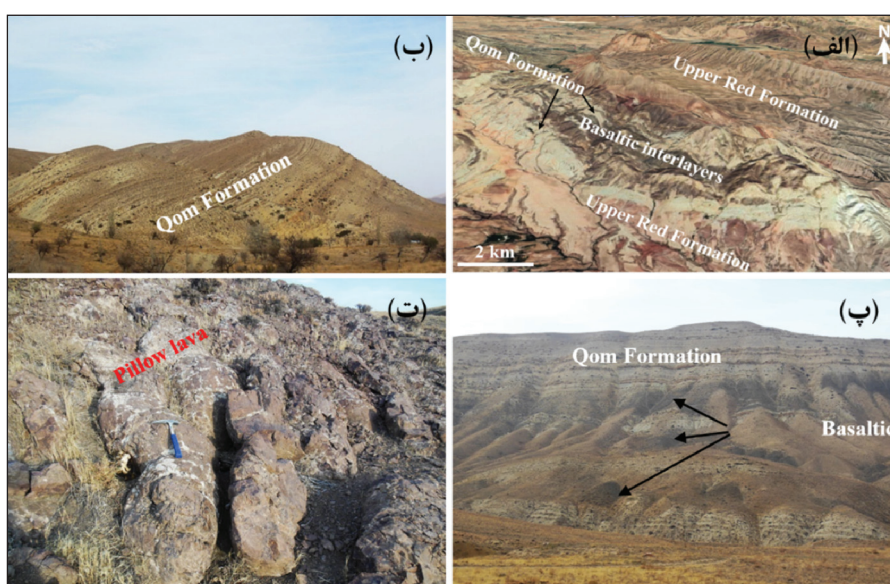
بر اساس تشکیلات سنگی موجود و روابط چینه‌ساختی آنها به نظر می‌رسد که فرایندهای کوهزایی اوخر اثوسن موجب خروج از آب و رسوب گذاری نهشته‌های قرمز زیرین بر روی واحدهای اثوسن شده است. پس از آن با پیشوای دیریا، نهشته‌های مربوط به سازند قم تشکیل شده است. بروند واحدهای دریایی سازند قم در این

باختر آوج، واحدهای سنگی سازند قم و میان لایه‌های بازالتی در هسته یک تاقدیس فرسایش یافته با امتداد شمال باختر- جنوب خاور قرار دارند. مشابه با روند این تاقدیس، گسل‌های اصلی منطقه نیز اغلب دارای روند ساختاری شمال باختر- جنوب خاور هستند. از جمله گسل‌های اصلی در زیر پهنه آبگرم شامل گسل‌های حسن آباد، خرورد و آبد دره هستند (علی پور و همکاران، ۱۳۹۶). افزون بر این گسل‌ها، تعداد زیادی گسل‌های فرعی نیز با روندهای متغیر در منطقه وجود دارند که موجب بهم ریختگی سنگ‌چینهای و تغییر در نظم و توالی واحدهای سنگی در مقیاس محلی و منطقه‌ای شده‌اند. بازالت‌ها و سنگ‌های رسوبی همراه در برخی نقاط، دارای مناظر فرسایش یافته و تپه‌ماهوری هستند در حالی که در مواردی نیز تشکیل دهنده توپوگرافی‌های مرتفع منطقه هستند (شکل ۲- ب). رنگ نسبتاً تیره تا خاکستری تیره از ویژگی‌های واحدهای بازالتی در صحراء است که البته در سطح دگران در بعضی موارد به رنگ خاکستری متمایل به قرمز نیز درمی‌آیند. این اختلاف رنگ نسبت به واحدهای رسوبی رنگ روشن (سازند قرمز) تا قرمز (سازند قرمز فوکانی)، باعث شهولت تفکیک آنها در تصاویر ماهواره‌ای (شکل ۲- الف) و سطح رخمنون (شکل ۲- ب) می‌شود.

رخساره سنگ‌های بازالتی در سطح رخمنون از حالت نرم و فرسایش یافته تا سخت و مستحکم متغیر است. بلوک‌های مقاوم با قطر کمتر از ۱ تا بیش از ۲ متر نیز بعضی از فرسایش بازالت‌ها حاصل می‌شوند که در دامنه‌های دورتر در مسیر آبراهه‌ها پراکنده شده‌اند. افزون بر این، در منظره سطح رخمنون و نمونه دستی، واحدهای بازالتی سیمای متنوعی دارند و از بافت حفره‌دار تا مترآکم متغیر هستند. به طور مثال، رخمنون‌های بازالتی در مسیر روستای نقاش به روستای بی‌آب بافت شدیداً حفره‌دار دارند که اکثر آثاری پرشدگی ثانویه کلسیت و سیلیس هستند.

هستند (شکل ۲- ب). افق‌های مختلف بازالتی که موضوع مورد بررسی در این پژوهش هستند در برخی مناطق همچون شمال باختر آوج (محدوده A در شکل ۱) به صورت میان لایه همراه با نهشته‌های سازند قم دیده می‌شوند (شکل ۲- الف و ب). رسوبات دریایی سازند قم نشان‌دهنده پیشروی دریا و ژرف شدن حوضه در ادامه واحدهای آواری سازند قرمز زیرین است. این فرایند در نتیجه فرونشست ساختاری و تشکیل گسل‌های نرمال در برخی نقاط حوضه ایران مرکزی طی محدوده زمانی الیگومیوسن است. طی میوسن آغازین- میانی ادامه زمین ساخت کششی باعث تشکیل ستبرای قابل توجهی از سازند قرمز فوکانی شده است (Morley et al., 2009). در منطقه رزن- آوج نیز رسوبات سازند قرمز فوکانی از ستبرای قابل توجهی برخوردار بوده و دارای ستبرای بیش از ۲۷۰۰ متر است. این رسوبات از جنس ماسه سنگ قرمز، گلگلومرا، مارن و همراه با برونزدهای موضعی ژیپس و نمک است (Bolourchi, 1978). یکی از رخمنون‌های اصلی واحدهای رسوبی سازند قم و میان لایه‌های بازالتی در کوه آران در شمال باختر آوج دیده می‌شود. در برش چینه‌شناسی کوه آران، ستبرای افق‌های بازالتی تا بیش از ۲۰۰ متر برآورده شده است (قاسمی، ۱۳۸۴). اگرچه در سطح رخمنون ستبرای برونزدهای بازالتی تا بیش از ۷۰۰ متر نیز می‌رسد.

موقعیت دیگر رخمنون‌های بازالتی در شمال خاور رزن است (محدوده B در شکل ۱). البته در این موقعیت بازالت‌ها روابط چینه‌شناختی مشخصی با واحدهای رسوبی سازند قم ندارند. حضور میان لایه‌های بازالتی در بین تشکیلات سازند قم در کوه آران، نشان‌دهنده فوران زیرآبی و همزمان با رسوبات سازند قم در محدوده زمانی الیگومیوسن است. این بازالت‌ها اغلب دارای ساختار توده‌ای هستند؛ گرچه در موقعی، ساختار بالشی نیز دیده می‌شود (شکل ۲- ت). در کوه آران در شمال



شکل ۲-الف) توالی لایه‌های بازالتی (تیره) با سازند قم (رنگ روشن) و سازند قرمز بالایی در کوه آران (شمال روستای نقاش)، تصویر گوگل ارت، ب) واحدهای آهکی- مارنی رنگ روشن سازند قم در شمال روستای نقاش، ب) میان لایه‌های بازالتی درون واحدهای رسوبی سازند قم، ت) ساختار بالشی (پیلولاوا) در واحدهای بازالتی در محدوده کوه آران.

۴- ویژگی‌های میکروسکوپی

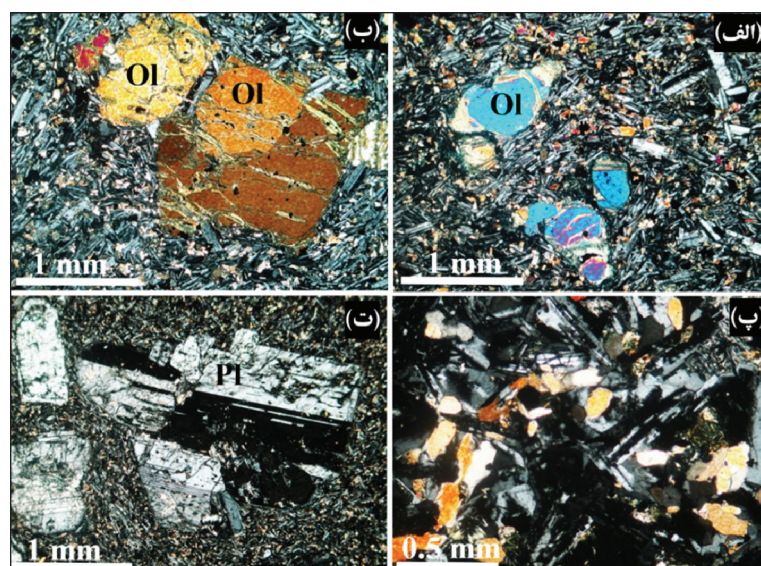
بر اساس بررسی‌های سنگنگاری مقاطع نازک، سنگ‌های آتششانی مورد پژوهش، در سه گروه یوین بازالت، بازالت و تراکی آندزیز طبقه‌بندی می‌شوند.
- **یوین بازالت:** این گروه از سنگ‌ها به ویژه در شمال باختر آوج دارای بیشترین

گسترش هستند. از نظر ویژگی‌های میکروسکوپی، بافت‌های مشخص نمونه‌های یوین بازالت اکثر بافت میکرولیتی پورفیری است. برخی نمونه‌ها نیز بافت وزیکولار- آمیگدالوئیدال دارند. وجود میکرولیت‌های پلاژیوکلاز با جهت یافتنگی

محصولات ثانوی همچون سیلیس (کلسیونی) و کلسیت پر شده‌اند.

- بازالت: در این سنگ‌ها بافت پورفیری، میکرولیتی و وزیکولار معمول است. در این نمونه‌ها، الیوین به عنوان فنوکریست چندان معمول نیست، بلکه در عوض پلاژیوکلاز اصلی‌ترین فنوکریست سنگ‌ها هستند (پلاژیوکلاز- فیریک) (شکل ۳-ت). بیشتر فنوکریست‌های پلاژیوکلاز به صورت خودشکل تانیمه‌خودشکل هستند و گاهی تقریباً تا ۵۰٪ حجم سنگ را به خود اختصاص می‌دهند. بعد این بلورهای تا حدود ۳ میلی‌متر نیز می‌رسد. در برخی از نمونه‌ها پلاژیوکلازها دارای حاشیه گرد شده و یا بافت غربالی هستند که می‌تواند در اثر تغییرات شرایط، عدم تعادل با مذاب و ناپایداری آن رخ دهد (e.g. Nelson and Montana, 1992; Smith et al., 2009). کانی دیگر کلینوپیروکسن است که البته فراوانی کمتری داشته (کمتر از ۵٪ مودال) و اغلب به صورت نیمه خودشکل دیده می‌شوند. حضور کلینوپیروکسن در زمینه سنگ نیز معمول است. میکرولیت‌های پلاژیوکلاز دیگر فاز غالب در زمینه سنگ است که در مواقعی بیش از ۵۰٪ زمینه سنگ را به خود اختصاص می‌دهد. کانی‌های اپک بی‌شكل و ریزدانه از دیگر فازهای زمینه سنگ هستند. زمینه سنگ در مواردی با حضور شیشه و کانی‌های ریزبلور فرومینزین (کلینوپیروکسن و الیوین) و اپک در فضای بین میکرولیت‌های پلاژیوکلاز مشخص می‌شود (بافت اینترسرتال). در برخی نمونه‌ها نیز فضای بین بلورهای فرم‌منزین و پلاژیوکلاز فاقد شیشه است و اغلب توسط ریزبلورهای فازهای دگرسانی و اپک اشغال می‌شود (بافت اینترگرانولار). برخی نمونه‌های بازالتی بافت حفره‌دار (وزیکولار) داشته که گاهی به صورت کامل و یا ناقص توسط کانی‌های ثانویه کلسیت و سیلیس پوشیده‌اند (بافت آمیگالی).

نامنظم که فضای بین آنها کم و بیش توسط بخش غیرمتبلور (شیشه‌ای) تا بلورهای ریز کانی‌های فرومینزین (همچون الیوین و کلینوپیروکسن) اشغال شده است گویای زمینه بافت اینترسرتال تا اینترگرانولار است. سنگ‌های الیوین بازالتی دارای فنوکریست‌های بارز الیوین هستند که بعده آنها در مواردی تا بیش از ۱ میلی‌متر نیز می‌رسد (شکل ۳-الف، ب). در بیشتر نمونه‌های الیوین بازالتی تنها فنوکریست موجود در سنگ، کانی الیوین است (الیوین- فیریک). فنوکریست‌های الیوین اشکال خود شکل تا نیمه خود شکل دارند که در موقعی از حاشیه یا در امتداد شکستگی‌های بلور کم و بیش سرپائینی شده‌اند. الیوین جزو کانی‌های معمول در زمینه سنگ‌های الیوین بازالتی نیز هست. از جمله کانی‌های دیگر که به صورت فراوان در بخش زمینه‌ای الیوین بازالت‌ها وجود دارند، میکرولیت‌های پلاژیوکلاز هستند (شکل ۳-الف، ب). دیگر کانی معمول در زمینه این سنگ‌ها کلینوپیروکسن است که در فضای بین میکرولیت‌های پلاژیوکلاز پراکنده است (شکل ۳-پ). کلینوپیروکسن‌ها اغلب اندازه کمتر از ۰/۵ میلی‌متر دارند. کانی‌های فرعی اپک نیز در زمینه این سنگ‌ها معمول هستند که اکثراً به صورت ریزدانه و بی‌شكل ظاهر می‌شوند. بخشی از کانی‌های اپک می‌توانند منشاً ثانویه داشته باشند و از دگرسانی کانی‌های فرم‌منزین به ویژه الیوین حاصل شده باشند. از نظر شدت دگرسانی، برخی از نمونه‌های الیوین بازالتی دگرسانی زیادی ندارند، به طوری که فنوکریست‌های الیوین و ریزبلورهای زمینه (پلاژیوکلاز+ الیوین + کلینوپیروکسن) اکثراً سالم و فاقد دگرسانی گستردۀ هستند. در محدودی از نمونه‌ها نیز دگرسانی باعث شده است که الیوین‌ها کاملاً سرپائینی شده و کانی‌های ثانویه نظیر کلریت و سریسیت جایگزین کلینوپیروکسن و پلاژیوکلاز شوند. در مواردی نیز حفرات موجود در سنگ توسط



شکل ۳- ویژگی‌های میکروسکوپی واحدهای آتششاتی مورد مطالعه. (الف) واحدهای الیوین بازالتی که در آن فنوکریست‌ها عمده‌تاً از جنس الیوین (Ol) هستند (الیوین- فیریک). کانی‌های بخش زمینه سنگ نیز با حضور میکروفنوکریست‌های پلاژیوکلاز، کلینوپیروکسن و الیوین مشخص می‌شود، ب) فنوکریست‌های سالم الیوین (Ol) در واحدهای الیوین بازالتی که در آن، بلورهای الیوین در امتداد شکستگی‌ها مختصراً به سرپائین دگرسان شده‌اند، پ) بافت اینترگرانولار مربوط به بخش زمینه سنگ‌های الیوین بازالتی که در آن فضای بین بلورهای پلاژیوکلاز توسط کانی‌های فرم‌منزین همچون کلینوپیروکسن پوشیده است. ت) واحدهای بازالتی پلاژیوکلاز- فیریک که فنوکریست‌ها غالباً از جنس پلاژیوکلاز (Pl) هستند. بخش زمینه سنگ نیز دارای کانی‌شناسی چیره پلاژیوکلاز، کلینوپیروکسن و اکسیدهای آهن- تیتان است. تمامی تصاویر در حالت XPL هستند.

۵- زمین شیمی

به منظور ارزیابی شیمی سنگ کل، تعداد ۳۰ نمونه مورد بررسی قرار گرفته‌اند. جهت انجام آنالیزهای شیمیایی، از بین آنها تعداد ۱۲ نمونه که کمترین دگرسانی و پرشدگی کانی‌های ثانویه داشته‌اند انتخاب گردیدند (جدول ۱). بر اساس نتایج بدست آمده و بر پایه مقادیر بدون LOI، میزان اکسید سیلیس در نمونه‌ها در حد ۵۱-۵۲٪/۳۲-۵۵٪ درصد وزنی است. همچنین مجموع عناصر آلکالان (K_2O+Na_2O) ۴/۶۹٪ تا ۶/۸۵٪ درصد وزنی است. به دلیل دگرسانی برخی نمونه‌ها و قابلیت تحرک عناصر آلکالان، برای نام‌گذاری سنگ‌ها از نمودارهای مبتنی بر عناصر نامتحرك استفاده شده است. در نمودار Zr/TiO_2 در برابر Y/Nb (شکل ۴-الف) اغلب نمونه‌ها در محدوده بازالت آلکالان و معدودی از آنها نیز در محدوده تراکی آندرزیت قرار گرفته‌اند. در نمودار مجموع عناصر آلکالان در برابر سیلیس (شکل ۴-ب) نیز سری آلکالان نمونه‌ها مشخص است. اگرچه تعدادی از نمونه‌ها نیز در محدوده ساب آلکالان قرار گرفته‌اند که شاید به دلیل تحرک و خروج بخشی از عناصر آلکالان از سنگ باشد.

- **قواکیت تا توکاکی آندرزیت:** این گروه سنگی کمترین فراوانی را در بین نمونه‌ها داراست و با بافت میکرولیتی-پورفیری تا تراکیتی مشخص می‌شوند. فنوکریست‌ها (پلاژیوکلاز و سانیدین) معمولاً کمتر از ۲۰٪ حجم سنگ را اشغال کرده‌اند که از نظر اندازه از کمتر از ۱ تا حداقل ۳ میلی‌متر می‌رسند. این فنوکریست‌ها تقریباً خودشکل تا نیمه خودشکل هستند. فنوکریست‌های سانیدین با ماکل دوتایی و فنوکریست‌های پلاژیوکلاز با ماکل تکراری (پلی‌ستنتیک) مشخص می‌شوند. کانی‌های اپک ریزدانه نیز گاهی تا حدود ۵٪ حجمی سنگ را اشغال می‌کنند. در برخی موارد قالب‌هایی از کانی‌هایی دیده می‌شوند که کاملاً با کانی‌های ثانویه پرشده‌اند. این قالب‌ها احتمالاً مربوط به کانی‌های اوپلیمی همچون بیوتیت باشند که کاملاً دگرسان شده هستند و از نظر فراوانی تا ۳٪ مودال می‌رسند. این سنگ‌ها نسبتاً دگرسان شده هستند، به صورتی که بسیاری از فنوکریست‌ها و میکروفنوکریست‌های پلاژیوکلاز و فلدسپار آلکالان کم و بیش به سریست و ندرتاً اپلدوت تبدیل شده‌اند.

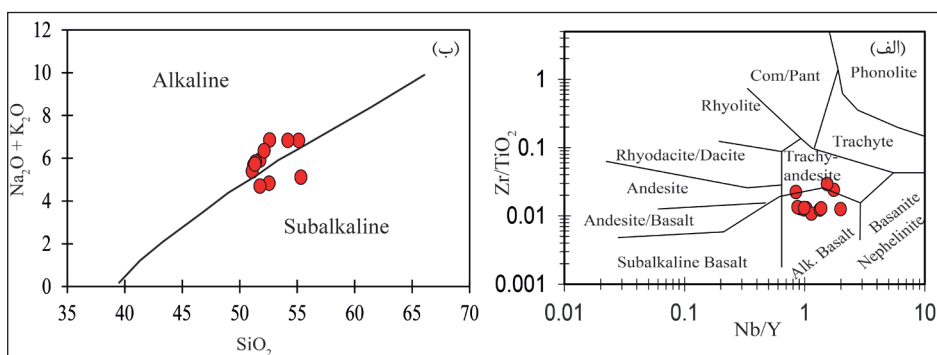
جدول ۱- ترکیب شیمیایی سنگ کل سنگ‌های آتشفشاری مورد پژوهش در محدوده رزن-آوج.

Sample	RA6	RA7	RA11	RA12	RA13	RA15	RA16	RA17	RA19	RA23	RA28	RA29	RA45*
XRF (wt.%)													
SiO_2	۵۱/۴۸	۵۱/۶۴	۵۰/۳۱	۵۰/۴۶	۵۰/۴۷	۵۰/۹۵	۵۰/۰۹	۵۰/۲۳	۵۰/۰۵۴	۵۰/۷۳	۵۳/۳۰	۵۲/۰۱	۵۰/۶۹
TiO_2	۱/۱۰	۱/۰۰	۱/۲۰	۱/۲۵	۱/۱۷	۱/۱۹	۱/۴۵	۱/۲۴	۱/۲۶	۱/۲۰	۱/۳۴	۱/۲۹	۱/۲۶
Al_2O_3	۱۹/۲۸	۱۶/۷۷	۱۶/۲۵	۱۵/۶۵	۱۶/۰۳	۱۵/۵۳	۱۴/۴۹	۱۵/۳۲	۱۶/۲۸	۱۶/۵۲	۱۴/۳۹	۱۳/۷۸	۱۶/۳۵
Fe_2O_3	۰/۹۸	۰/۶۲	۱/۱۴	۱/۰۸	۱/۱۳	۱/۰۳	۱/۱۱	۱/۰۴	۱/۱۵	۱/۱۲	۰/۷۴	۰/۷۲	۱/۱۵
FeO	۶/۵۱	۴/۱۵	۷/۵۹	۷/۲۳	۷/۵۴	۶/۸۵	۷/۴۳	۶/۹۵	۷/۶۴	۷/۴۷	۴/۹۰	۴/۸۰	۷/۶۹
MnO	۰/۲۰	۰/۳۱	۰/۱۵	۰/۱۵	۰/۱۵	۰/۱۲	۰/۱۳	۰/۱۲	۰/۱۴	۰/۱۵	۰/۲۲	۰/۲۲	۰/۱۴
MgO	۴/۷۰	۲/۲۵	۷/۴۰	۸/۲۵	۸/۲۷	۷/۶۷	۱۰/۳۶	۹/۱۹	۶/۹۴	۷/۳۰	۴/۷۰	۴/۷۵	۶/۶۶
CaO	۸/۷۱	۱۱/۳۷	۸/۱۶	۸/۴۳	۸/۱۱	۶/۲۶	۵/۵۴	۵/۶۱	۸/۲۴	۸/۲۲	۹/۹۱	۱۱/۳۲	۸/۲۷
Na_2O	۳/۴۸	۳/۵۷	۳/۹۰	۲/۹۲	۳/۵۷	۴/۷۶	۴/۳۷	۴/۷۲	۴/۱۰۳	۳/۹۶	۳/۶۵	۳/۷۳	۴/۰۴
K_2O	۱/۲۵	۱/۲۰	۱/۶۷	۱/۶۵	۱/۷۳	۱/۸۷	۱/۳۵	۱/۴۰	۱/۶۹	۱/۷۱	۲/۶۶	۲/۸۳	۱/۶۸
P_2O_5	۰/۲۸	۰/۴۷	۰/۴۷	۰/۴۱	۰/۴۴	۰/۰۲	۰/۴۵	۰/۵۳	۰/۴۷	۰/۴۹	۰/۰۸	۰/۰۵	۰/۴۷
LOI	۲/۴۴	۶/۹۰	۱/۹۳	۲/۵۸	۱/۸۹	۲/۲۹	۳/۸۸	۳/۹۵	۱/۹۴	۱/۶۳	۳/۴۸	۴/۵۹	۱/۸
Total	۱۰۰/۳۸	۱۰۰/۲۵	۱۰۰/۱۸	۱۰۰/۰۷	۱۰۰/۳۱	۱۰۰/۱۵	۱۰۰/۶۶	۱۰۰/۳۰	۱۰۰/۳۱	۱۰۰/۴۹	۱۰۰/۱۶	۱۰۰/۵۸	۱۰۰/۵۹
Mg#	۵۶/۳	۴۹/۱	۶۳/۵	۶۷/۱	۶۶/۲	۶۶/۶	۷۱/۳	۷۰/۲	۶۱/۸	۶۳/۵	۶۳/۰	۶۳/۸	۶۱/۷
XRF (ppm)													
Zn	۱۰۵	۱۳۱	۶۲	۵۹	۶۰	۵۹	۵۹	۵۳	۶۳	۵۸	۸۴	۸۴	۶۵
Cu	۴۴	۱۰	۴۴	۴۵	۴۳	۴۶	۴۸	۴۷	۴۶	۴۴	۱۵	۱۶	۴۵
Sc	۱۵	۱۶	۲۰	۱۹	۲۱	۱۳	۱۵	۱۴	۲۱	۱۸	۱۶	۱۵	۱۹
Ga	۱۹	۱۸	۱۶	۱۷	۱۶	۱۸	۱۷	۱۵	۱۷	۱۶	۱۶	۱۷	۱۷
Ni	۵	۱۸	۴۷	۵۶	۵۱	۴۳	۴۴	۳۹	۴۷	۴۴	۴۲	۴۲	۴۷
Co	۲۰	۹	۳۲	۳۲	۳۲	۳۰	۳۱	۲۹	۳۰	۳۲	۱۷	۱۴	۲۹
Cr	۲۳	۲۲۵	۲۹۱	۲۳۱	۲۹۳	۳۲۱	۲۷۸	۲۸۳	۲۹۴	۲۸۶	۲۷۸	۲۵۳	۲۹۴
V	۲۱۷	۱۳۱	۱۶۹	۱۷۵	۱۷۲	۱۴۰	۱۵۴	۱۴۶	۱۷۶	۱۶۲	۱۵۱	۱۴۳	۱۷۷
Rb	۱۸	۲۱	۴۹	۴۵	۴۹	۳۸	۳۳	۳۵	۵۰	۴۲	۸۶	۸۳	۵۰
Ba	۷۲۵	۴۴۸	۳۴۱	۳۸۹	۳۱۴	۴۲۹	۳۸۶	۴۲۹	۳۴۶	۳۴۴	۶۷۸	۶۷۷	۳۵۰
Th	۶	۸	۵	۶	۶	۶	۵	۶	۶	۶	۱۰	۱۰	۶
Nb	۲۱	۳۰	۲۲	۲۲	۲۲	۲۳	۲۵	۲۳	۲۵	۲۳	۳۹	۳۵	۲۳
La	۲۵	۳۶	۲۶	۲۴	۲۵	۲۶	۳۳	۲۶	۲۲	۱۹	۳۲	۳۳	۲۶

ادامه جدول ۱

Sample	RA6	RA7	RA11	RA12	RA13	RA15	RA16	RA17	RA19	RA23	RA28	RA29	RA45*
Ce	۵۴	۶۲	۴۱	۴۴	۳۷	۴۹	۵۱	۵۲	۳۸	۳۴	۶۱	۸۳	۴۵
Pb	۵۵	۱۳	۶	۵	۴	۵	۴	۶	۷	۷	۵	۵	۷
Sr	۷۷۴	۶۸۷	۴۴۷	۴۴۹	۴۲۹	۵۳۰	۳۳۹	۳۷۶	۴۸۹	۵۰۲	۴۹۹	۴۹۲	۴۹۳
Nd	۱۴	۱۵	۱۰	۱۴	۱۲	۱۴	۱۷	۱۹	۱۷	۱۶	۲۶	۲۱	۱۵
Zr	۱۴۵	۲۳۹	۱۵۳	۱۷۱	۱۵۴	۱۶۸	۱۶۲	۱۵۹	۱۶۶	۱۵۶	۳۳۳	۳۹۳	۱۸۰
Y	۲۵	۲۲	۲۳	۲۵	۲۴	۲۱	۲۰	۲۶	۲۳	۱۸	۲۵	۲۴	۲۴
Hf	۴	۸	۴	۵	۵	۷	۵	۶	۶	۶	۷	۹	۶
ICP-MS (ppm)													
Rb	۱۸/۴۹	۴۷/۸۸	۴۳/۶۰	۴۵/۹۷	۳۳/۳۳		۳۵/۹۲	۴۶/۱۲	۳۹/۹۳	۸۷/۰۴			
Sr	۷۶۵/۲۹	۴۵۱/۹۱	۴۲۴/۶۶	۴۲۰/۲۱	۴۱۸/۴۹		۳۴۹/۷۸	۴۵۲/۴۴	۴۲۸/۳۹	۴۶۸/۴۴			
Y	۲۲/۵۴	۲۳/۹۹	۲۶/۵۶	۲۲/۳۵	۱۷/۸۷		۲۵/۱۹	۲۳/۹۸	۱۷/۴۶	۲۶/۸۴			
Zr	۱۴۲/۱۳	۱۵۲/۹۳	۱۷۱/۴۹	۱۵۰/۱۴	۱۷۲/۳۴		۱۶۲/۹۵	۱۶۱/۹۲	۱۵۹/۷۹	۳۳۳/۸۴			
Nb	۲۰/۶۷	۲۳/۵۳	۲۳/۱۸	۲۲/۹۳	۳۵/۴۹		۳۳/۷۴	۲۳/۷۵	۲۳/۹۱	۴۶/۸۰			
La	۲۲/۶۵	۱۹/۱۹	۲۰/۲۱	۱۷/۸۴	۲۲/۸۷		۲۷/۹۴	۱۹/۱۵	۱۵/۸۸	۳۱/۸۴			
Ce	۴۲/۲۶	۳۸/۰۱	۳۹/۷۸	۳۳/۹۸	۴۳/۲۲		۵۱/۶۶	۳۵/۵۶	۳۰/۹۰	۵۸/۰۲			
Pr	۴/۹۵	۴/۱۷	۴/۴۵	۳/۹۲	۴/۷۶		۵/۷۶	۴/۲۰	۳/۵۲	۶/۷۹			
Nd	۱۷/۴۹	۱۵/۱۹	۱۶/۲۷	۱۴/۷۷	۱۶/۸۹		۲۰/۲۵	۱۵/۵۸	۱۳/۱۱	۲۴/۱۱			
Sm	۴/۱۵	۳/۸۲	۴/۰۷	۳/۷۴	۴/۱۰		۴/۷۷	۴/۲۲	۳/۱۸	۵/۴۷			
Eu	۱/۲۶	۱/۲۸	۱/۳۹	۱/۱۹	۱/۱۳		۱/۳۹	۱/۲۷	۰/۹۷	۱/۵۳			
Gd	۳/۸۸	۳/۷۶	۴/۱۳	۳/۶۸	۳/۵۸		۴/۲۱	۴/۰۰	۳/۰۳	۵/۰۸			
Tb	۰/۶۱	۰/۶۲	۰/۶۸	۰/۶۱	۰/۵۵		۰/۶۷	۰/۶۷	۰/۵۰	۰/۷۷			
Dy	۳/۶۲	۳/۸۲	۴/۱۷	۳/۵۸	۳/۱۹		۳/۹۶	۴/۰۷	۳/۰۹	۴/۵۱			
Ho	۰/۷۴	۰/۸۳	۰/۹۰	۰/۷۸	۰/۶۵		۰/۸۲	۰/۸۲	۰/۶۳	۰/۸۸			
Er	۲/۰۹	۲/۳۲	۲/۵۲	۲/۱۹	۱/۷۵		۲/۲۸	۲/۲۸	۱/۷۰	۲/۴۳			
Tm	۰/۳۱	۰/۳۵	۰/۳۹	۰/۳۳	۰/۲۷		۰/۳۵	۰/۳۵	۰/۲۶	۰/۳۸			
Yb	۲/۰۲	۲/۳۰	۲/۵۶	۲/۲۲	۱/۷۳		۲/۳۰	۲/۳۱	۱/۶۷	۲/۴۵			
Lu	۰/۳۱	۰/۳۵	۰/۳۸	۰/۳۴	۰/۲۷		۰/۳۵	۰/۳۴	۰/۲۵	۰/۳۶			
Hf	۳/۴۵	۴/۹۹	۴/۹۸	۴/۳۰	۴/۴۶		۴/۳۳	۴/۲۷	۴/۰۸	۷/۶۴			
Ta	۱/۷۲	۲/۴۸	۲/۴۴	۲/۴۴	۲/۶۲		۳/۴۹	۲/۴۴	۲/۴۱	۴/۳۳			
Th	۴/۷۶	۶/۲۸	۶/۷۲	۵/۹۱	۵/۸۰		۷/۷۰	۵/۵۶	۴/۶۷	۱۰/۶۶			
U	۱/۰۸	۱/۷۲	۱/۵۳	۱/۶۸	۱/۷۲		۱/۸۸	۱/۶۷	۱/۶۱	۳/۰۲			

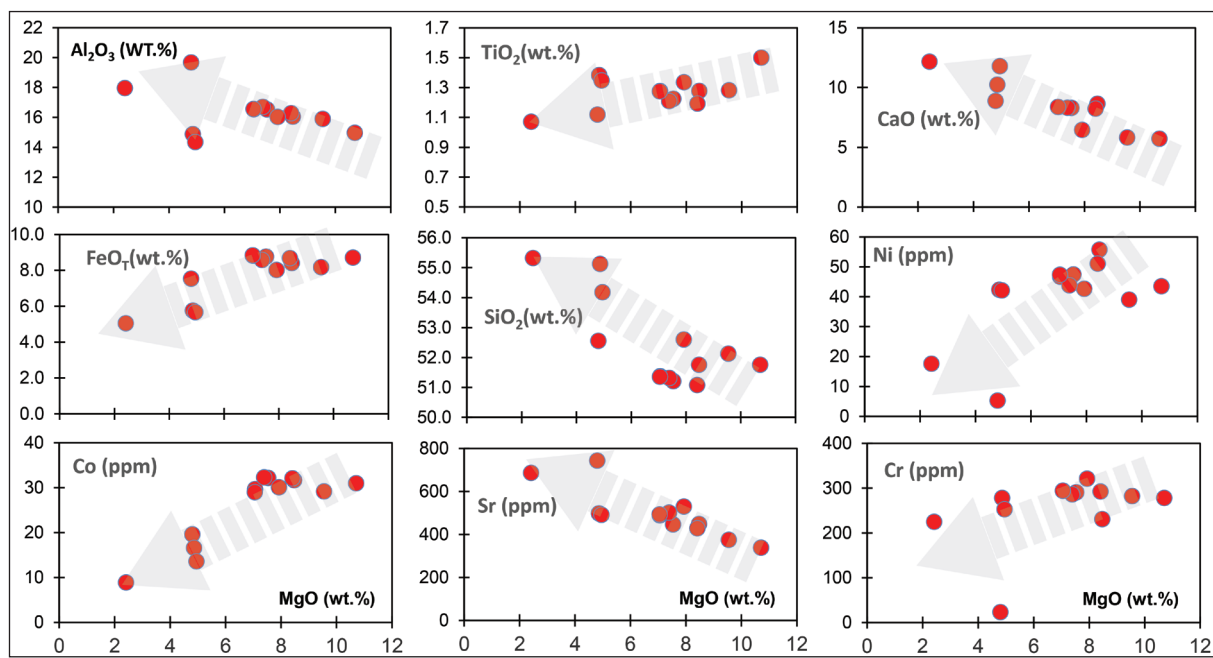
*: duplicate of sample RA19



شکل ۴-الف) نمودار Y/Nb نسبت به Zr/TiO_2 (Winchester and Floyd, 1977) برای نام‌گذاری سنگ‌های منطقه، ب) نمودار مجموع عنصر آلکالن ($\text{K}_2\text{O}+\text{Na}_2\text{O}$) در برابر SiO_2 (Irvine and Baragar, 1971).

مقدار عناصر فوق در مذاب باقیمانده کاهش یابد. مقدار FeO و TiO_2 نیز روند کاهشی دارند که با تبلور تفریقی کانی های فرمونیزین قابل توجیه است. همچنین روند تغییرات Sr افزایشی است. چون Sr معمولاً جانشین Ca شده وارد ساختمان پلازما کلاز می شود (Rollinson, 2014)، بنابراین افزایش تمرکز آن در مذاب باقیمانده با تفرقی بلوری چشمگیر پلازما کلاز هم خواست ندارد. در شکل ۶-الف، الگوی عناصر نادر خاکی سنجیده شده براساس ترکیب کندریت نمایش داده شده است. در این شکل، عناصر نادر خاکی سیک (LREE) نسبت به عناصر نادر خاکی سنگین (HREE) غنی شدگی داشته و الگوهای سنجیده شده REE دارای شیب منفی هستند. غنی شدگی نسبی LREE با نسبت های La/Sm _N, La/Yb _N و Sm/Yb _N هستند. نیز مشخص می شود که به ترتیب بین ۱/۷۷-۲/۹۳ و ۵/۶۷-۲/۶۳-۱/۷۸-۳/۷۸ می تغییر می کنند.

با توجه به گستردگی تغییرات میزان MgO که در نتایج آنالیزها بین ۷/۱۰ درصد وزنی است از این پارامتر برای بررسی روند تغییرات عناصر اصلی و فرعی در نمودارهای تغییرات (شکل ۵) استفاده شده است. با کاهش میزان MgO اکسید سیلیسیس روند افزایشی دارد که با تبلور تفریقی کانی های فرومیزین همچون الیوین و پپروکسن قابل توضیح است. با کاهش مقدار MgO، مقادیر Al_2O_3 و CaO روندی افزایشی دارند. از آنجا که Al_2O_3 و CaO جزو سازنده های اصلی کانی پلاژیو کلاز هستند لذا، افزایش تمرکز آنها در مذاب تحول یافته می تواند نشانگر نبود تفرقی بلوری قابل توجه و تأثیرگذار پلاژیو کلاز باشد. از طرفی، عناصر Ni و Cr نیز روندهای کاهشی منظم و مشخصی با کاهش میزیم دارند. از آنجاکه این عناصر خصلت سازگار داشته و ضرایب تفرقی بالایی در کانی های الیوین و پپروکسن دارند لذا انتظار می رود با تبلور تفریقی، این کانی ها و به ویژه الیوین،



شکل ۵- نمودارهای تغییرات مقادیر تعدادی از اکسیدهای عناصر اصلی و پرخی عناظر کمیاب نسبت به مقدار Mg.

در دو رون پلیتی (OIB) و یا اثرگذار نبودن مواد زون فروزانش در منشأ مذاب است (Cook et al., 2005; White, 2010; Zhang et al., 2010). نکته دیگر این که در شکل های ۶-الف و ب، نمونه های منطقه رزن-آوج از نظر ترکیب شیمیایی عناصر کمیاب تمایز مشخصی با بازالت های اثوسن نوار ارومیه-دختر (منطقه ساوه) دارند که در بخش های بعدی مورد اشاره و تحلیل قرار خواهد گرفت.

٦- بحث

۶-۱. مدل سازی ژئوشیمیایی عناصر کمیاب

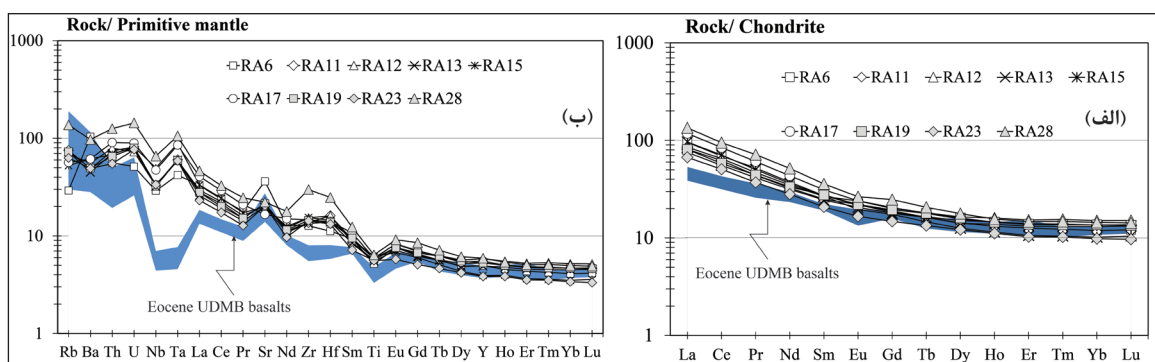
اماگما تحت فرایند هایی چون اختلاط ماگمایی، هضم، تبلور تفریقی و ذوب بخشی دستخوش نوساناتی می گردد که سبب ایجاد تغییرات در ترکیب ماگمای اولیه می گردد و بدین صورت ماگمایی به وجود آمده با ماگمای اولیه متفاوت خواهد بود. مذاب های بازالتی منطقه رزن-آوچ با عدد منیزیم ($Mg\#$) بین $63/4$ تا 49 مشخص می شوند. همچنین مقدار Ni و Cr در آنها به ترتیب بین $5/3$ تا $4/0$ و $22/4$ تا $27/7$ می باشد. این در حالی است که مقدار $Mg\#$ در مذاب های بازالتی اولیه بجزی بیان می شود. کانی شناسی معمول گوشته فو قانی (Spl) ($OI+Opx+Cpx\pm Gt\pm Sp$) بوده اند که در تعادل با $OI+Opx+Cpx$ قرار می گیرد.

غنى شدگی نسبی LREE را می‌توان با درجه ذوب بخشی کم از یک منشاء گوشه‌ای غنی (Enriched mantle source) یا کمتر تهی شده توضیح داد (Eissen et al., 1998; Pearce, 2008; Zhou et al., 2009; Saccani et al., 2011). افزون بر این، آرایش موازی الگوهای عناصر نادر خاکی در شکل ۶-الف می‌تواند نشانگر ارتباط ژنتیک نمونه‌ها و تحولات ترکیب شیمیایی مذاب از طریق تفریق بلوری باشد. از طرفی در این شکل بی‌هنجاری منفی $E\text{ll}$ دیده نمی‌شود که با نبود تفریق بلوری پلازما کلاز همخوانی دارد.

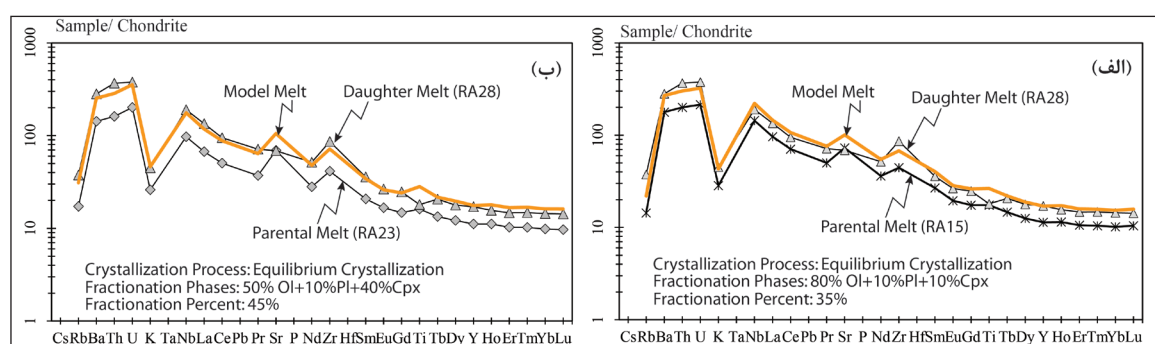
در شکل ۶-ب، نمودار عنکبوتی نمونه‌های منطقه رزن-آوح که بر اساس ترکیب گوشته اولیه سنجیده شده‌اند، نمایش داده شده است. در این شکل نیز غنی شدگی نسبی عناصر با ناسازگاری بیشتر همچون LILE و LREE (عناصر لیتوفیل یون بزرگ همچون Rb و Ba) مشهود است. از طرفی در این نمودار نمونه‌های منطقه رزن-آوح، بی‌هنگاری منفی عناصر دارای قدرت میدان بالا (HFSE) همچون Nb و Ta نشان نمی‌دهند. وجود بی‌هنگاری منفی HFSE در نمودارهای عنکبوتی با مگماتیسم مرتبط با زون فروزانش تفسیر می‌شود (Pearce and Parkinson, 1993; Woodhead, 1989; Zhao and Zhou, 2007) در حالی که نبود آن از ویژگی‌های مگماتیسم

شونده، ترکیب شیمیایی مذاب باقیمانده (مذاب مدل) را می‌توان با دیگر نمونه‌ها مقایسه نمود. در این مدل‌سازی، مذاب مدل ترکیب خیلی مشابهی با نمونه RA28 دارد (شکل ۷-الف). بنابراین بر اساس این مدل‌سازی می‌توان چنین انگاشت که نمونه RA28 می‌تواند بر اثر تبلور تفریقی حدود ۳۵ درصد و ترکیب معنی‌از مجموعه کانی‌های تفریق شونده است. در این مدل‌سازی مذاب RA23 مادر شیوه نمونه RA15 حاصل گردد. در مدل‌سازی دوم (شکل ۷-ب) نمونه RA23 به عنوان مذاب مادر در نظر گرفته شده است. در اینجا نیز مذاب مدل با شرط درصد تبلور تفریقی حدود ۴۵ درصد و ترکیب مجموعه کانی‌های تفریق شونده به صورت تعادلی ($C_L = C_0/[F+D(1-F)]$) استفاده شده است. در این رابطه $T_b = C_0 + C_L$ و تمرکز عنصر کمیاب در مذاب باقیمانده و مذاب مادر است. همچنین F درصد تبلور و D ضریب جدایش کلی عنصر بین کانی و مذاب است. انتخاب کانی‌های تفریق شونده بر اساس کانی‌شناسی سنگ و بررسی فازهای فتوکریستی- میکروفوکوش شامل فازهای سنگ صورت می‌گیرد. کانی‌شناسی بازالت‌های مورد پژوهش شاهد این کانی‌ها به عنوان الیون+پلازموکلر+کلینوپروکسن است. لذا از این کانی‌ها به عنوان فازهای محتمل تفریق شونده استفاده شده است. با استفاده از ضرایب جدایش عنصر- مذاب بازالتی (McKenzie and O'Nions, 1991; Foley et al., 1996) و رابطه ارائه شده در بالا می‌توان درصد تبلور تفریقی و تحولات شیمیایی ناشی از آن را مورد بررسی قرار داد (Ersøy and Helvacı, 2010). در ابتدا نمونه‌ای که مقدار پایین‌تری از عناصر ناسازگار و همچنین میزان بالاتری از عناصر سازگار همچون MgO داشته باشد به عنوان مذاب مادر انتخاب می‌گردد. در یکی از محاسبات نمونه RA15 به عنوان مذاب مادر انتخاب گردید (شکل ۷-الف). با درنظر گرفتن نمونه RA15 به عنوان مذاب مادر و تغییرات انجام شده در درصد تبلور تفریقی و نسبت کانی‌های متبلور

به ترتیب در حد <400 ، $400-500$ ، $500-700$ و >700 پی‌پی ام است (Wilson, 2007). از این رو، ملاحظه می‌شود بازالت‌های مورد پژوهش تحول شیمیایی زیادی را متحمل شده‌اند. یکی از مؤثرترین عوامل جهت تحول مذاب، فرایند تبلور تفریقی است. برای مدل‌سازی تبلور تفریقی نمونه‌های منطقه زرن- آوج از رابطه تبلور تفریقی تعادلی ($C_L = C_0/[F+D(1-F)]$) استفاده شده است. در این رابطه $T_b = C_0 + C_L$ و تمرکز عنصر کمیاب در مذاب باقیمانده و مذاب مادر است. همچنین F درصد تبلور و D ضریب جدایش کلی عنصر بین کانی و مذاب است. انتخاب کانی‌های تفریق شونده بر اساس کانی‌شناسی سنگ و بررسی فازهای فتوکریستی- میکروفوکوش شاهد این کانی‌ها به عنوان فازهای محتمل تفریق شونده استفاده شده است. با استفاده از ضرایب جدایش عنصر- مذاب بازالتی (McKenzie and O'Nions, 1991; Foley et al., 1996) و رابطه ارائه شده در بالا می‌توان درصد تبلور تفریقی و تحولات شیمیایی ناشی از آن را مورد بررسی قرار داد (Ersøy and Helvacı, 2010). در ابتدا نمونه‌ای که مقدار پایین‌تری از عناصر ناسازگار و همچنین میزان بالاتری از عناصر سازگار همچون MgO داشته باشد به عنوان مذاب مادر انتخاب می‌گردد. در یکی از محاسبات نمونه RA15 به عنوان مذاب مادر انتخاب گردید (شکل ۷-الف). با درنظر گرفتن نمونه RA15 به عنوان مذاب مادر و تغییرات انجام شده در درصد تبلور تفریقی و نسبت کانی‌های متبلور



شکل ۶- (الف) الگوی شیمیایی عناصر نادر خاکی بهنجار شده نسبت به گوشه اولیه (Sun and McDonough, 1989). (ب) نمودار عنکبوتی بهنجار شده نسبت به گوشه اولیه (Sun and McDonough, 1989). بازالت‌های انواع نوار ارومیه- دختر (UDMB) مربوط به منطقه ساوه است (دلاوری و همکاران، ۱۳۹۶).

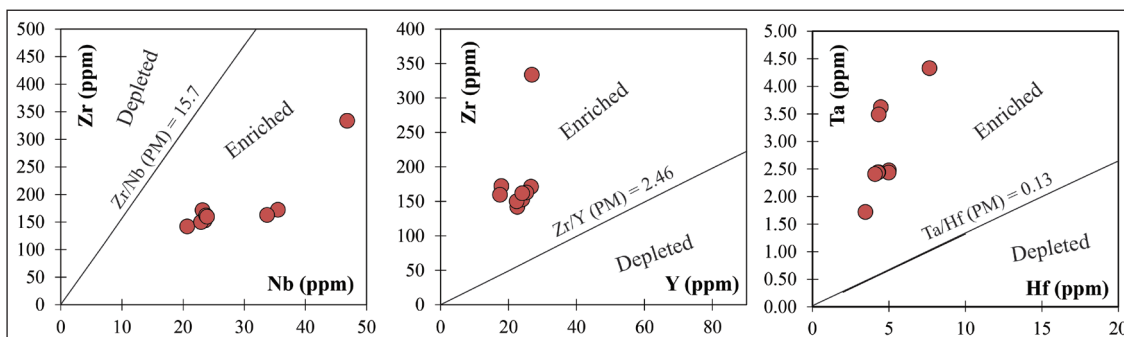


شکل ۷- مدل‌سازی زمین‌شیمیایی تبلور تفریقی بر اساس تمرکز تغییر شده عناصر بر مبنای کندریت (Sun and McDonough, 1989). این مدل‌سازی بر اساس روابط تبلور تعادلی (Rollinson, 2014) و ضریب جدایش عناصر در محیط نرم افزاری PETROMODELER (Ersøy, 2013) انجام شده است. در شکل (الف)، نمونه RA15 به عنوان مذاب مادر در نظر گرفته شده است که ملاحظه می‌شود با شرط تبلور تفریقی ۳۵ درصد و ترکیب کانی‌های تفریق شونده با نسبتی که در شکل آمده، مذاب حاصله (مذاب مدل) ترکیب نزدیکی به نمونه RA28 دارد. در شکل (ب)، نمونه RA23 به عنوان مذاب مادر در نظر گرفته شده است که در این مورد، با شرط تبلور تفریقی ۴۵ درصد و ترکیب کانی‌های تفریق شونده که در شکل ارائه شده است، ترکیب مذاب مدل با نمونه RA28 مورد مقایسه قرار گرفته است.

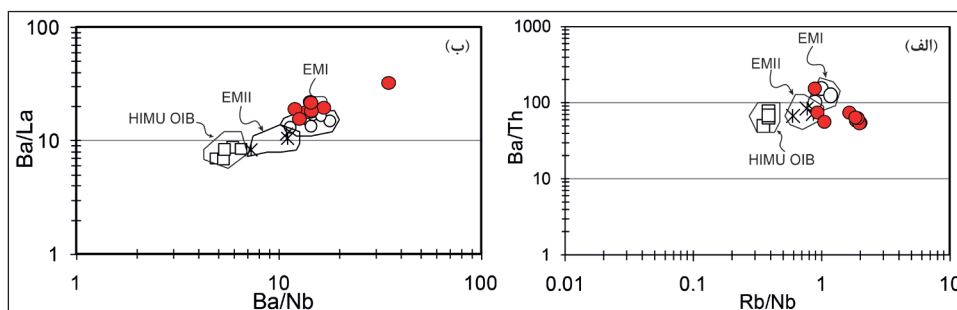
۶-۲. منشأ مذاب

بر همین اساس نمودارهای شکل ۸ برای تعیین ماهیت منشأ گوشه‌ای تعریف شده‌اند و نمونه‌های منطقه در آن ترسیم شده‌اند. بر اساس تمرکز عناصر کمیاب (شکل ۸)، کلیه نمونه‌های بازالتی منطقه در محدوده گوشه‌غنى (Enriched) یا تهی نشده قرار گرفته‌اند. چنین منشأ گوشه‌ای بارخساره گارنت‌لرزولیتی مشخص می‌شود و به عنوان منشأ مذاب‌های OIB در نظر گرفته می‌شود (Cook et al., 2005; Humphreys and Niu, 2009). منشأ گوشه‌ای غنى (Enriched mantle source) (برخلاف منشأ مذاب شامل قسمت‌های ژرف‌تر گوشه است که کمتر تحت تأثیر ذوب بخشی قرار گرفته و بنابراین تمرکز عناصر ناسازگار آن بالاتر است. مطالعات زمین‌شیمیایی عناصر کمیاب و ایزوتوبی بازالت‌های جزایر اقیانوسی (OIB) نشان داده است که منشأ گوشه‌ای این سنگ‌ها دارای ناهمگنی زمین‌شیمیایی است (Weaver, 1991; Willbold and Stracke, 2006). Weaver, 1991; Willbold and Stracke, 2006) در شکل ۹ از نسبت عناصر کمیاب همچون Ba/La, Ba/Nb, Ba/Th و Rb/Nb برای تعیین ماهیت منشأ گوشه‌ای گوشتی نوی نوع EMI تابع است. ملاحظه می‌شود ترکیب شیمیایی نمونه‌های منطقه با گوشه‌غنى نوع EMI تابع است. تصور بر این است که منشأ گوشه‌ای نوع EMI حاصل آلاش گوشه با چرخه مواد فرورانشی قدیمی (رسوبات پلاژیک) است که دارای نسبت بالای LILE/HFSE (Weaver, 1991) بوده‌اند. نسبت پایین U/Pb و LREE/HFSE, Ba/Th, Ba/La

ژنوشیمی سنگ‌ها ابزار مناسبی جهت بحث در مورد منشأ مذاب و ژنر آن فراهم می‌آورد. در این میان مقدار و نسبت برشی عناصر کمیاب به دلیل اینکه کمتر تحت تأثیر فرایندهای تحول قرار می‌گیرند مفیدتر هستند. برشی از عناصر کمیاب از نظر شدت ناسازگاری با هم مشابه هستند، بنابراین نسبت آنها تحت تأثیر فرایندهای ذوب بخشی و یا تبلور تفریقی قرار نمی‌گیرد. به طور مثال نسبت Nb/Ta در N-MORB (مورب نرمال)، E-MORB (مورب غنى)، OIB (بازالت جزایر اقیانوسی) و PM (گوشه‌های اولیه) به طور مساوی و به تقریب در حد ۱۷/۵ است. یا اینکه نسبت Zr/Sr که در بازالت‌های مختلف N-MORB, E-MORB و OIB به طور مشابه در حد ۲۸ است (Sun and McDonough, 1989). بر عکس، در مواردی که جفت عناصر کمیاب دارای ناسازگاری متفاوتی هستند طبیعتاً میزان آنها در مذاب رابطه مستقیمی با غنى شدگی یا Ta/Hf و Zr/Y, Nb/Y, Zr/Ti, Nb/Yb, Ta/Yb نسبت عناصر کمیاب با غنى شدگی یا تهی شدگی منشأ آنها دارد. نسبت عناصر کمیاب از این قبیل مثال‌ها هستند. در کلیه این نسبت‌ها، عنصر موجود در صورت کسر ناسازگاری بیشتری دارد، لذا در مذاب‌هایی که از منشأ گوشه‌ای تهی تر سرچشم می‌گیرند مقدار این نسبت‌ها کمتر است. به همین دلیل همه نسبت‌های فوق یک کاهش تدریجی از سمت OIB به سمت E-MORB و N-MORB نشان می‌دهند (Sun and McDonough, 1989). افزون بر این، مقدار مربوط به گوشه اولیه (PM) به عنوان معیاری برای جدا کردن منشأ گوشه‌ای تهی از غنى استفاده می‌شود (e.g. Abu-Hamatteh, 2005).



شکل ۸- نمودارهای تعیین ماهیت گوشه‌ای بر اساس تمرکز عناصر کمیاب ناسازگار (تمرکز عناصر کمیاب در گوشه‌های اولیه (PM) بر اساس نمونه‌های منطقه در محدوده گوشه‌غنى (Enriched) قرار گرفته‌اند. Sun and McDonough (1989)



شکل ۹- بررسی منشأ گوشه‌ای بازالت‌های محدوده رزن-آوج. (الف) نمودار تغییرات نسبت Th/Ba در برابر نسبت Rb/Nb. (ب) نمودار تغییرات نسبت La/Ba در برابر نسبت Ba/Nb. علامت دایره، ستاره و مریع به ترتیب مربوط به مقادیر مختلف HIMU OIB, EMI, EMII و EMI. Weaver (1991) محدوده‌ها بر اساس جایگاه آنها رسم شده است.

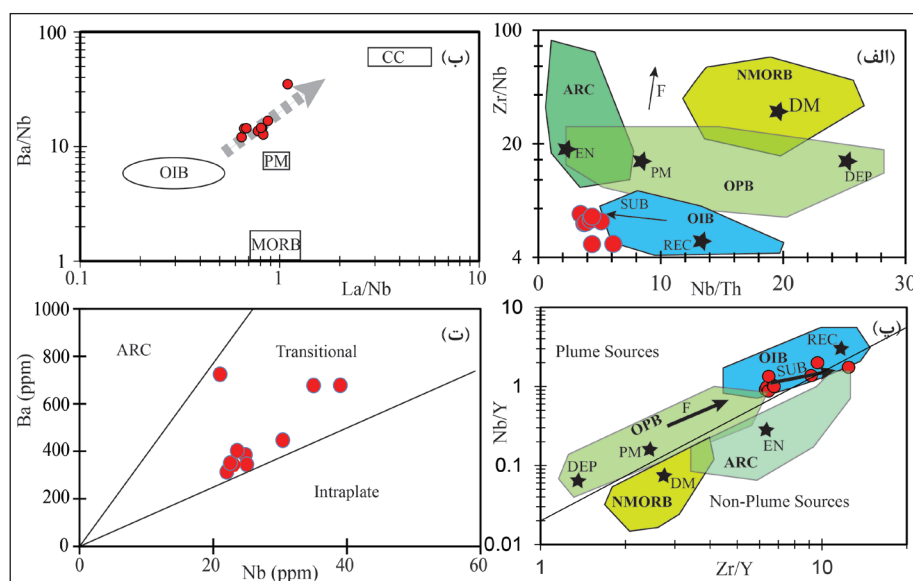
۶-۳. جایگاه زمین‌ساختی

منشأ گوشه‌ای تهی نشده نسبتاً ژرف است؛ جایی که گارنت پایدار بوده و سنگ منشأ گوشه‌ای رخساره گارنت پریولوئیتی دارد (Mattsson and Oskarsson, 2005). تمرکز عناصر کمیاب سنگ‌ها نشانگر مناسبی جهت تحلیل و بحث جایگاه

بر اساس آنچه در بخش‌های پیشین در مورد زمین‌شیمی بازالت‌های منطقه رزن-آوج بحث شد، این سنگ‌ها ماهیت آلکالن داشته و با نسبت بالای La_N/Yb_N (LREE/HREE) مشخص می‌شوند. چنین ویژگی نشان‌دهنده

نادر خاکی و نمودارهای عنکوتوی بازالت‌های منطقه رزن-آوج (الیکومیوسن) با بازالت‌های ائوسن نوار ارومیه-دختر (منطقه ساوه) مقایسه گردید که نشان‌دهنده تمایز آشکار بین آنهاست. به این صورت که در نمودارهای عنکوتوی، مانگماتیسم ائوسن با تهی شدگی عناصر HFS همچون Nb و Ta به طور مشخص ماهیت مذاب‌های مناطق فروراشی یا قوس آتشفسانی را نشان می‌دهد در حالی که مانگماتیسم الیکومیوسن فاقد این ویژگی است و از طرفی به دلیل نسبت بالای LREE/HREE تفسیر شده است (Verdel et al., 2011). در حقیقت پس از فعالیت مانگماتیک گسترده ائوسن در ایران که در یک رژیم زمین‌ساختی کششی بالای زون فروراشی نتوتیس صورت گرفته است (Verdel et al., 2011)، ادامه مانگماتیسم در الیکومیوسن به ذوب بخشی گوشته آستنوسفری بالا آمده طی فاز کششی مقارن با تشکیل حوضه رسویی سازند قم ارتباط دارد. در نهایت می‌توان چنین پنداشت که پس از مراحل آغازین برخورد پلیت‌های قاره‌ای عربی-اورازیا در ائوسن پایانی-الیکومیوسن آغازی (Soft Collision) (Morley et al., 2009) که تحت عنوان مرحله «برخورد نرم» (Morley et al., 2013; Madanipour et al., 2017) سرعت نیز نامیده شده است. در چنین حالتی احتمالاً عقب‌گرد لیتوسفر فرورونده (Slab Roll-back) تزریق جریانی از گوشته آستنوسفری ژرف‌تر به درون گوه گوشته‌ای را تسهیل نموده است. در ادامه، فعال و انفعالات ضعیف مواد فروراشی با این گوشته آستنوسفری مذاب‌هایی را تیجه داده است که در بازه زمانی الیکومیوسن فوران نموده و با اینکه ماهیت مذاب‌های OIB دارد ولی بی‌تأثیر از فرایندهای زون فروراش نیز نبوده است. البته جریان آستنوسفری همچنین می‌توانسته باعث افزایش دما و ذوب درجه پایین گوشته لیتوسفری زیرقاره‌ای شده باشد که در این صورت نیز پیدایش مذاب‌های آلکالن محتمل است (McDonough, 1990).

زمین ساختی-ماگماتیک زایش مذاب است (Pearce and Norry, 1979; Pearce, 1982; Pearce and Parkinson, 1993). طبق آنچه در شکل ۱۰-الف مشاهده می‌شود، نسبت‌های Zr/Nb و La/Nb متمایز کننده جایگاه زمین ساختی بازالت‌های مختلف است. در این میان، بازالت‌های قوسی به دلیل پایین بودن نسبت Zr/Nb به خوبی از دیگر گروه‌ها متمایز می‌شوند. در این شکل، نمونه‌های منطقه از نظر نسبت Zr/Nb شبیه OIB هستند در حالی که نسبت Nb/Th آنها در محدوده بازالت‌های قوسی است. بنابراین با این که نمونه‌های منطقه در محدوده نزدیک به OIB پلاس شده‌اند ولی به سمت محدوده قوسی گرایش دارند. بر اساس آنچه در شکل ۱۰-الف نشان داده شده است، این گرایش می‌تواند در نتیجه تأثیر گذاری مواد فروراشی (SUB) در منشأ گوشته‌ای باشد. در نمودار شکل ۱۰-ب نیز نتیجه مشابه حاصل می‌شود؛ بدین صورت که نمونه‌ها به دلیل افزایش نسبت‌های La/Nb بازالت‌های OIB به سمت پوسه قاره‌ای (CC) (تمایل پیدا کرده‌اند. چنین پدیده‌ای نیز در واقع با آلایش منشأ گوشته‌ای با مواد پوسه قاره‌ای (مواد فروراشی) قابل تفسیر است. در نمودار شکل ۱۰-ب نیز نمونه‌های بازالتی منطقه رزن-آوج اکثرًا در محدوده OIB جای گرفته‌اند ولی اندکی نیز به سمت محدوده بازالت‌های قوسی انحراف پیدا کرده‌اند. در نمودار تغییرات Ba در برابر Nb (شکل ۱۰-ت) نمونه‌های منطقه به طور مشخص در محدوده انتقالی بین جایگاه درون پلیتی و قوس آتشفسانی قرار گرفته‌اند. بنابراین می‌توان نتیجه گرفت که نمونه‌های منطقه دارای یک منشأ گوشته‌ای شبیه OI است که تا اندازه‌ای تحت تأثیر مواد مشتق از پلیت فرورونده قرار گرفته است. چنین مشایی با یک گوشته نسبتاً ژرف آستنوسفری (شبیه OIB) که در یک جایگاه بالای زون فروراش تأثیرات ضعیفی از زون فروراش را ثبت کرده است قابل توضیح است. ناگفته نماند گوشته لیتوسفری زیرقاره‌ای نیز قابلیت تولید مذاب‌های آلکالن را دارد (McDonough, 1990). پیش‌تر در شکل ۶-الف و ب، نمودارهای الگوی عناصر



شکل ۱۰- بررسی جایگاه زمین ساختی و منشأ گوشته‌ای بازالت‌های محدوده رزن-آوج. الف) نمودار Zr/Nb در برابر Nb/Th (Condie, 2005) که نمونه‌های منطقه از محدوده OIB به سمت محدوده ARC تمايل پیدا کرده‌اند. ب) نمودار La/Nb-Ba در برابر La/Nb (Sun and McDonough, 1989) و جایگاه نمونه‌ها که در حد فاصل OIB و پوسه قاره‌ای قرار گرفته‌اند (رفنس داده‌ها از Condie, 2005) در این نمودار نیز با اینکه نمونه‌ها در محدوده OIB قرار گرفته‌اند ولی دارای روندی هستند که به سمت محدوده ARC گرایش دارند. ت) نمودار تغییرات Ba در برابر Nb (D'Orazio et al., 2004) که نمونه‌ها به طور مشخص در یک محدوده انتقالی بین مذاب‌های درون‌صفحه‌ای تا کمان آتشفسانی قرار گرفته‌اند. علامت اختصاری بدین شرح است: CC: پوسه قاره‌ای؛ DEP: گوشته تهی شده ژرف؛ DM: گوشته تهی شده؛ EN: سازنده غنی؛ F: اثر ذوب بخشی؛ OIB: بازالت جزایر اقیانوسی؛ OPB: بازالت فلات جزایر اقیانوسی؛ PM: گوشته اولیه؛ REC: سازنده بازیافت شده به درون گوشته (SUB); Recycled: اثر فروراش.

۷- نتیجه گیری

چنین پنداشت که پس از فعالیت ماقمایی گسترده اثوسن در نوار- ارومیه دختر که دارای ویژگی‌های آشکار ماقماتیسم قوس آتشفشاری است، ادامه ماقماتیسم در الیکومیوسن به ذوب بخشی گوشته ژرف‌تر آستنوسفری ارتباط دارد. احتمالاً پس از آغازین مراحل برخورد پلیتی عربی- اوراسیایی در اثوسن پایانی- الیکوسن آغازی و به عقب برگشتگی لیتوسفر فرورونده، جریانی از گوشته آستنوسفری به درون گوه گوشته‌ای تزریق شده و به طور ضعیفی تحت تأثیر مواد فروراشی نیز قرار گرفته است. مذاب‌های حاصله از این منبع گوشته‌ای در بازه زمانی الیکومیوسن فوران نموده و دارای ماهیت چیره OIB با ثبت اثراتی از فرایندهای زون فروزانش می‌باشند.

سنگ‌های آتشفشاری الیکومیوسن منطقه رزن- آوج اغلب شامل الیوین بازالت، بازالت و معدودی ترم‌های تفریق یافته‌تر تراکی آندزیتی با ماهیت آلکالن هستند. مطابق نمودارهای تغییرات عناصر اصلی و کمیاب و همچنین مدل‌سازی زمین‌شیمیایی، فرایند تبلور تفریقی عامل اصلی تغییر و تحولات ترکیب مذاب است. به طوری که مذاب‌های تحول یافته‌تر با درصد تبلور بین ۲۵ تا ۴۵ درصد و مجموعه کانی‌های تفریق شونده الیوین + کلینوپیر و کسن + پلازیوکلاز از مذاب‌های اولیه تر حاصل می‌شوند. از طرفی تمرکز عناصر کمیاب سنگ‌ها نشان‌دهنده ماقماتیسم مشابه با مذاب‌های OIB با تمایل به سمت مذاب‌های قوسی آتشفشاری است. می‌توان

کتابنگاری

- علیپور، ر.، صدر، ا.ح.، قمریان، س.، ۱۳۹۶- تحلیل زمین‌ساختی منطقه آوج- آبگرم با استفاده از روش‌های سنجش از دور و تحلیل الگوی فرکتالی، شمال باختیر ایران. مجله علوم زمین. سال بیست و هفتم، شماره ۱۰۶. صفحات ۲۱۶-۲۰۳.
- فاسیمی، ح.، ر.، ۱۳۸۴- لیواستراتیگرافی و بیواستراتیگرافی سازند قم در ناحیه آوج، پایان نامه کارشناسی ارشد. دانشگاه خوارزمی تهران.
- دلاروی، م.، رضایی، پ.، دولتی، ا.، ۱۳۹۶- ماقماتیسم اثوس نوار ارومیه- دختر در شمال ساوه: نوع مجموعه‌های ولکانیک در یک محیط کششی؛ مجله پژوهش‌های دانش زمین، دوره ۸، شماره ۲، بهار ۱۳۹۶، پایانی ۳۰. ص. ۱-۱۸. Dor: 20.1001.1.20088299.1396.8.2.1.1.

References

- Abu-Hamatteh, Z.S.H., 2005- Geochemistry and petrogenesis of mafic magmatic rocks of the Jharol Belt, India: geodynamic implication. Journal of Asian Earth Sciences, 25: 557-581, <http://dx.doi.org/10.1016/j.jseas.2004.05.006>.
- Ahmadian, J., Sarjoughian, F., Lentz, D., Esna-Ashari, A., Murata, M., and Ozawa, H., 2016- Eocene K-rich adakitic rocks in the Central Iran: implications for evaluating its Cu-Au-Mo metallogenetic potential. Ore Geology Reviews, 72: 323-342, <http://dx.doi.org/10.1016/j.oregeorev.2015.07.017>.
- Ballato, P., Stockli, D.F., Ghassemi, M.R., Landgraf, A., Strecker, M.R., Hassanzadeh, J., Friedrich, A., and Tabatabaei, S.H., 2013- Accommodation of transpressional strain in the Arabia-Eurasia collision zone: new constraints from (U-Th)/He thermochronology in the Alborz mountains, north Iran. Tectonics, 32: 1-18, [10.1029/2012tc003159](https://doi.org/10.1029/2012tc003159).
- Bolourchi, M.H., 1978- Geology map of Avaj, scale 1:100000 . Geological survey of Iran.
- Chiu, H.-Y., Chung, S.-L., Zarrinkoub, M.H., Mohammadi, S.S., Khatib, M.M., and Iizuka, Y., 2013- Zircon U-Pb age constraints from Iran on the magmatic evolution related to Neotethyan subduction and Zagros orogeny. Lithos, 162-163: 70-87, <http://dx.doi.org/10.1016/j.lithos.2013.01.006>.
- Condie, K.C., 2005- High field strength element ratios in Archean basalts: a window to evolving sources of mantle plumes? Lithos, 79: 491-504, <http://dx.doi.org/10.1016/j.lithos.2004.09.014>.
- Cook, C., Briggs, R.M., Smith, I.E.M., and Maas, R., 2005- Petrology and Geochemistry of Intraplate Basalts in the South Auckland Volcanic Field, New Zealand: Evidence for Two Coeval Magma Suites from Distinct Sources. Journal of Petrology, 46: 473-503, [10.1093/petrology/egh084](https://doi.org/10.1093/petrology/egh084).
- D’Orazio, M., Innocenti, F., Manetti, P., and Haller, M.J., 2004- The Cenozoic back-arc magmatism of the southern extra-Andean Patagonia (44.5-52° S): A review of geochemical data and geodynamic interpretations. Revista de la Asociación Geológica Argentina, 59: 525-538,
- Eissen, J.-P., Crawford, A.J., Cotten, J., Meffre, S., Bellon, H., and Delaune, M., 1998- Geochemistry and tectonic significance of basalts in the Poya Terrane, New Caledonia. Tectonophysics, 284: 203-219, [http://dx.doi.org/10.1016/S0040-1951\(97\)00183-2](http://dx.doi.org/10.1016/S0040-1951(97)00183-2).
- Ersoy, E.Y., 2013- PETROMODELER (Petrological Modeler): a Microsoft® Excel© spreadsheet program for modelling melting, mixing, crystallization and assimilation processes in magmatic systems. Turkish Journal of Earth Sciences, 22: 115-125.
- Ersoy, Y., and Helvacı, C., 2010- FC-AFC-FCA and mixing modeler: A Microsoft® Excel© spreadsheet program for modeling geochemical differentiation of magma by crystal fractionation, crustal assimilation and mixing. Computers & Geosciences, 36: 383-390, <http://dx.doi.org/10.1016/j.cageo.2009.06.007>.
- Foley, S.F., Jackson, S.E., Fryer, B.J., Greenouch, J.D., and Jenner, G.A., 1996- Trace element partition coefficients for clinopyroxene and phlogopite in an alkaline lamprophyre from Newfoundland by LAM-ICP-MS. Geochimica et Cosmochimica Acta, 60: 629-638, [https://doi.org/10.1016/0016-7037\(95\)00422-X](https://doi.org/10.1016/0016-7037(95)00422-X).
- Ghalamghash, J., Mousavi, S., Hassanzadeh, J., and Schmitt, A., 2016- Geology, zircon geochronology, and petrogenesis of Sabalan volcano (northwestern Iran). Journal of Volcanology and Geothermal Research, 327: 192-207, [10.1016/j.jvolgeores.2016.05.001](https://doi.org/10.1016/j.jvolgeores.2016.05.001).

- Ghasemi, H. and Rezaei-Kahkhaei, M., 2015- Petrochemistry and tectonic setting of the Davarzan-Abbasabad Eocene Volcanic (DAEV) rocks, NE Iran. *Mineralogy and Petrology*, 109: 235-252, 10.1007/s00710-014-0353-3.
- Ghorbani, M.R., Graham, I.T., and Ghaderi, M., 2014- Oligocene–Miocene geodynamic evolution of the central part of Urumieh-Dokhtar Arc of Iran. *International Geology Review*, 56: 1039-1050, 10.1080/00206814.2014.919615.
- Humphreys, E.R., and Niu, Y., 2009- On the composition of ocean island basalts (OIB): The effects of lithospheric thickness variation and mantle metasomatism. *Lithos*, 112: 118-136, <http://dx.doi.org/10.1016/j.lithos.2009.04.038>.
- Irvine, T.N., and Baragar, W.R.A., 1971- A guide to the chemical classification of the common volcanic rocks. *Canadian Journal of Earth Sciences*, 8: 523-548.
- Kazmin, V.G., Sbortshikov, I.M., Ricou, L.E., Zonenshain, L.P., Boulin, J., and Knipper, A.L., 1986- Volcanic belts as markers of the Mesozoic-Cenozoic active margin of Eurasia. *Tectonophysics*, 123: 123-152, [http://dx.doi.org/10.1016/0040-1951\(86\)90195-2](http://dx.doi.org/10.1016/0040-1951(86)90195-2).
- Madanipour, S., Ehlers, T.A., Yassaghi, A., and Enkelmann, E., 2017- Accelerated middle Miocene exhumation of the Talesh Mountains constrained by U-Th/He thermochronometry: evidence for the Arabia-Eurasia collision in the NW Iranian Plateau. *Tectonics*, 10.1002/2016TC004291.
- Mattsson, H.B., and Oskarsson, N., 2005- Petrogenesis of alkaline basalts at the tip of a propagating rift: Evidence from the Heimaey volcanic centre, south Iceland. *Journal of Volcanology and Geothermal Research*, 147: 245-267, <https://doi.org/10.1016/j.jvolgeores.2005.04.004>.
- McDonough, W.F., 1990- Constraints on the composition of the continental lithospheric mantle. *Earth and Planetary Science Letters*, 101: 1-18, [https://doi.org/10.1016/0012-821X\(90\)90119-I](https://doi.org/10.1016/0012-821X(90)90119-I).
- McKenzie, D., and O'Nions, R.K., 1991- Partial Melt Distributions from Inversion of Rare Earth Element Concentrations. *Journal of Petrology*, 32: 1021-1091, 10.1093/petrology/32.5.1021.
- Moghadam, H.S., Rossetti, F., Lucci, F., Chiaradia, M., Gerdes, A., Martinez, M.L., Ghorbani, G., and Nasrabady, M., 2016- The calc-alkaline and adakitic volcanism of the Sabzevar structural zone (NE Iran): Implications for the Eocene magmatic flare-up in Central Iran. *Lithos*, 248-251: 517-535, <https://doi.org/10.1016/j.lithos.2016.01.019>.
- Morley, C.K., Kongwung, B., Julapour, A.A., Abdolghafourian, M., Hajian, M., Waples, D., Warren, J., Otterdoom, H., Srisuriyon, K., and Kazemi, H., 2009- Structural development of a major late Cenozoic basin and transpressional belt in central Iran: The Central Basin in the Qom-Saveh area. *Geosphere*, 5: 325-362, 10.1130/ges00223.1.
- Nelson, S.T., and Montana, A., 1992- Sieve-textured plagioclase in volcanic rocks produced by rapid decompression. *American Mineralogist*, 77: 1242-1249.
- Omraní, J., Agard, P., Whitechurch, H., Benoit, M., Prouteau, G., and Jolivet, L., 2008- Arc-magmatism and subduction history beneath the Zagros Mountains, Iran: A new report of adakites and geodynamic consequences. *Lithos*, 106: 380-398, <http://dx.doi.org/10.1016/j.lithos.2008.09.008>.
- Pang, K.-N., Chung, S.-L., Zarrinkoub, M.H., Chiu, H.-Y., and Li, X.-H., 2014- On the magmatic record of the Makran arc, southeastern Iran: Insights from zircon U-Pb geochronology and bulk-rock geochemistry. *Geochemistry, Geophysics, Geosystems*: 10.1002/2014GC005262, 10.1002/2014gc005262.
- Pang, K.-N., Chung, S.-L., Zarrinkoub, M.H., Khatib, M.M., Mohammadi, S.S., Chiu, H.-Y., Chu, C.-H., Lee, H.-Y., and Lo, C.-H., 2013- Eocene–Oligocene post-collisional magmatism in the Lut–Sistan region, eastern Iran: Magma genesis and tectonic implications. *Lithos*, 180–181: 234-251, <http://dx.doi.org/10.1016/j.lithos.2013.05.009>.
- Pearce, J., and Norry, M., 1979- Petrogenetic implications of Ti, Zr, Y, and Nb variations in volcanic rocks. *Contributions to Mineralogy and Petrology*, 69: 33-47, 10.1007/bf00375192.
- Pearce, J.A., 1982- Trace element characteristics of lavas from destructive plate boundaries. In: Thorpe, R. S., ed., *Andesites*: New York, NY, John Wiley & Sons: 525-548.
- Pearce, J.A., 2008- Geochemical fingerprinting of oceanic basalts with applications to ophiolite classification and the search for Archean oceanic crust. *Lithos*, 100: 14-48, <http://dx.doi.org/10.1016/j.lithos.2007.06.016>.
- Pearce, J.A., and Parkinson, I.J., 1993- Trace element models for mantle melting: application to volcanic arc petrogenesis. *Geological Society, London, Special Publications*, 76: 373-403, 10.1144/gsl.sp.1993.076.01.19.
- Rollinson, H.R., 2014- Using geochemical data: evaluation, presentation, interpretation. Routledge, 384p., <https://doi.org/10.4324/9781315845548>
- Saccani, E., Beccaluva, L., Photiades, A., and Zeda, O., 2011- Petrogenesis and tectono-magmatic significance of basalts and mantle peridotites from the Albanian–Greek ophiolites and sub-ophiolitic mélange. New constraints for the Triassic–Jurassic evolution of the Neo-Tethys in the Dinaride sector. *Lithos*, 124: 227-242, <http://dx.doi.org/10.1016/j.lithos.2010.10.009>.
- Sepidbar, F., Shafaii Moghadam, H., Zhang, L., Li, J.-W., Ma, J., Stern, R.J., and Lin, C., 2019- Across-arc geochemical variations in the Paleogene magmatic belt of Iran. *Lithos*, 344-345: 280-296, <https://doi.org/10.1016/j.lithos.2019.06.022>.
- Smith, V.C., Blundy, J.D., and Arce, J.L., 2009- A Temporal Record of Magma Accumulation and Evolution beneath Nevado de Toluca, Mexico, Preserved in Plagioclase Phenocrysts. *Journal of Petrology*, 50: 405-426, 10.1093/petrology/egp005.

- Sosson, M., Rolland, Y., Müller, C., Danelian, T., Melkonyan, R., Kekelia, S., Adamia, S., Babazadeh, V., Kangarli, T., Avagyan, A., Galoyan, G., and Mosar, J., 2010- Subductions, obduction and collision in the Lesser Caucasus (Armenia, Azerbaijan, Georgia), new insights. Geological Society, London, Special Publications, 340: 329-352, 10.1144/sp340.14.
- Sun, S.-S., and McDonough, W.F., 1989- Chemical and isotopic systematics of oceanic basalts: implications for mantle composition and processes. Geological Society, London, Special Publications, 42: 313-345.
- Taylor, S.R., and McLennan, S.M., 1995- The geochemical evolution of the continental crust. Reviews of Geophysics, 33: 241-265, 10.1029/95rg00262.
- Topuz, G., Altherr, R., Schwarz, W., Siebel, W., Satir, M., and Dokuz, A., 2005- Post-collisional plutonism with adakite-like signatures: the Eocene Saraycık granodiorite (Eastern Pontides, Turkey). Contributions to Mineralogy and Petrology, 150: 441-455, 10.1007/s00410-005-0022-y.
- Torabi, G., Arai, S., and Abbasi, H., 2014- Eocene continental dyke swarm from Central Iran (Khur area). Petrology, 22: 617-632, 10.1134/S086959111406006X.
- Van der Boon, A., Kuiper, K.F., Villa, G., Renema, W., Meijers, M.J.M., Langereis, C.G., Aliyeva, E., and Krijgsman, W., 2017- Onset of Maikop sedimentation and cessation of Eocene arc volcanism in the Talysh Mountains, Azerbaijan. Geological Society, London, Special Publications, 428: 145-169, 10.1144/sp428.3.
- Verdel, C., Wernicke, B.P., Hassanzadeh, J., and Guest, B., 2011- A Paleogene extensional arc flare-up in Iran. Tectonics, 30: TC3008, 10.1029/2010tc002809.
- Weaver, B.L., 1991- The origin of ocean island basalt end-member compositions: trace element and isotopic constraints. Earth and Planetary Science Letters, 104: 381-397.
- White, W.M., 2010- Oceanic Island Basalts and Mantle Plumes: The Geochemical Perspective. Annual Review of Earth and Planetary Sciences, 38: 133-160, doi:10.1146/annurev-earth-040809-152450.
- Willbold, M., and Stracke, A., 2006- Trace element composition of mantle end-members: Implications for recycling of oceanic and upper and lower continental crust. Geochemistry, Geophysics, Geosystems, 7: 10.1029/2005GC001005, 10.1029/2005GC001005.
- Wilson, B.M., 2007- Igneous petrogenesis a global tectonic approach. Springer Science & Business Media, Springer, Dordrecht, 466 p., <https://doi.org/10.1007/978-94-010-9388-0>
- Winchester, J.A., and Floyd, P.A., 1977- Geochemical discrimination of different magma series and their differentiation products using immobile elements. Chemical Geology, 20: 325-343, [http://dx.doi.org/10.1016/0009-2541\(77\)90057-2](http://dx.doi.org/10.1016/0009-2541(77)90057-2).
- Woodhead, J.D., 1989- Geochemistry of the Mariana arc (western Pacific): Source composition and processes. Chemical Geology, 76: 1-24, [http://dx.doi.org/10.1016/0009-2541\(89\)90124-1](http://dx.doi.org/10.1016/0009-2541(89)90124-1).
- Zhang, Y., Liu, J., and Guo, Z., 2010- Permian basaltic rocks in the Tarim basin, NW China: Implications for plume-lithosphere interaction. Gondwana Research, 18: 596-610, <http://dx.doi.org/10.1016/j.gr.2010.03.006>.
- Zhao, J.-H., and Zhou, M.-F., 2007- Geochemistry of Neoproterozoic mafic intrusions in the Panzhihua district (Sichuan Province, SW China): Implications for subduction-related metasomatism in the upper mantle. Precambrian Research, 152: 27-47, <http://dx.doi.org/10.1016/j.precamres.2006.09.002>.
- Zhou, M.-F., Zhao, J.-H., Jiang, C.-Y., Gao, J.-F., Wang, W., and Yang, S.-H., 2009- OIB-like, heterogeneous mantle sources of Permian basaltic magmatism in the western Tarim Basin, NW China: Implications for a possible Permian large igneous province. Lithos, 113: 583-594, <http://dx.doi.org/10.1016/j.lithos.2009.06.027>.
- Zindler, A., and Hart, S., 1986- Chemical Geodynamics. Annual Review of Earth and Planetary Sciences, 14: 493-571, doi:10.1146/annurev.ea.14.050186.002425.

Original Research Paper

Oligo-Miocene extrusive rocks of Razan-Avaj area (Urumieh-Dokhtar magmatic belt): evidence of OIB- like magmatism in a supra-subduction zone setting

Morteza Delavari^{1*}, Khadijeh Ghorbani² and Amir Ali Tabbakh Shabani¹

¹ Assistant Professor, Faculty of Earth Sciences, Kharazmi University, Tehran, Iran

² M.Sc., Faculty of Earth Sciences, Kharazmi University, Tehran, Iran

ARTICLE INFO

Article history:

Received: 2021 February 22

Accepted: 2021 April 05

Available online: 2021 December 22

Keywords:

Alkali basalt

Oligo-Miocene

Razan-Avaj

Urumieh-Dokhtar

ABSTRACT

The Urmieh- Dokhtar magmatic belt (UDMB) lying parallel to the Zagros suture zone is resulted from the subduction of Neotethyan oceanic lithosphere beneath the southern margin of Eurasia. The studied volcanic rocks of the Razan- Avaj area are part of UDMB magmatism. These rocks are composed of olivine-basalts, basalts and occasional trachyandesites with alkaline nature. The interlayered stratigraphic relationships of volcanic horizons with sediments of Qom Formation implies Oligo-Miocene age. Major and trace element contents of volcanic rocks and chemical modeling are indicative of significant role of olivine + clinopyroxene + plagioclase fractional crystallization (35-45%) in melt compositional trend. Bulk rock chemistry of these rocks displays LREE/HREE enrichment and lack of HFSE negative anomaly similar to oceanic island basalts (OIB). It seems that after Eocene magmatic flare-up with obvious magmatic arc signatures in UDMB, during the Oligo-Miocene the origin of magmas has shifted to a deeper asthenospheric mantle. Probably, after the initial stages of the Arabian-Eurasian plate collision in the Late Eocene-Early Oligocene and the slab roll-back, an upwelling asthenospheric mantle is injected into the mantle wedge and is weakly affected by the subduction material, which is the source of Oligo-Miocene melts.

* Corresponding author: Morteza Delavari; E-mail: delavari@khu.ac.ir

E-ISSN: 2645-4963; Copyright©2021 G.S. Journal & the authors. All rights reserved.

 doi: 10.22071/GSJ.2021.270639.1881



doi: 10.1001.1.10237429.1400.31.4.7.6



This is an open access article under the by-nc/4.0/ License (<https://creativecommons.org/licenses/by-nc/4.0/>)